

تحديد افضل نموذج للتنبؤ باستهلاك الطاقة الكهربائية في المنطقة الجنوبية

م.ساهره حسين زين الشعبي / علوم احصاء

م.خلود موسى عمران / هندسة كهرباء

المستخلاص

لقد ازداد الاهتمام بموضوع التنبؤ خلال السنوات الأخيرة وظهرت أساليب حديثة ومنها نماذج الشبكات العصبية Artificial Neural Networks، إذ إن هذه الأساليب قادرة على التعلم والتكيف ذاتياً مع أي نموذج، ولا تحتاج إلى افتراضات لطبيعة السلسلة الزمنية. بالمقابل فإن طرائق التنبؤ الكلاسيكية المستخدمة حالياً مثل طريقة بوكس-Jenkins-Box قد يصعب عليها تشخيص السلسلة ونمذجتها لأنها تفترض شروط صارمة. لذلك ظهرت الحاجة لمقارنة الطرائق التقليدية المستخدمة في التنبؤ بالسلسلة الزمنية مع أسلوب الشبكات العصبية لإيجاد الأسلوب الأكثر كفاءة في التنبؤ، وهذا يمثل الغاية من إجراء هذه الدراسة.

يسهم التنبؤ المستقبلي بالطلب على الكهرباء في حل مشاكل قطاع الطاقة الكهربائية من خلال التخطيط المستقبلي لتلبية الزيادة الحاصلة في الطلب على الطاقة الكهربائية. ولقد أظهرت التجارب عدم وجود طريقة تنبؤ معينة ملائمة لجميع الحالات، بل إن لكل حالة طريقة تنبؤ خاصة بها يتبعن البحث عنها واستخدامها. إلا أن الأخذ بأكثر من طريقة قد يؤدي إلى رفع درجة دقة التقديرات المستقبلية.

تهدف الدراسة الحالية إلى تسليط الضوء على بعض الأساليب الإحصائية المستخدمة في التنبؤ بالطلب المستقبلي على الطاقة الكهربائية للمنطقة الجنوبية، فضلاً عن الاشارة إلى أكثر الأساليب دقة في التنبؤ المستقبلي للطاقة. وتم استخدام عدد من الأساليب للتنبؤ مثل أسلوب نماذج الاقتصاد القياسي، أسلوب بوكس-جينكينز وأسلوب الشبكة العصبية الاصطناعية. وخدمة لهذا الهدف الدراسة فإن الفرضية التي يرتكز عليها البحث مفادها: أن نماذج الشبكات العصبية أكثر دقة من النماذج التقليدية في التنبؤات طويلة المدى. إذ تعد أكفاء وأكثر دقة من النماذج التقليدية الأخرى في التعامل مع بيانات السلسلات الزمنية غير الخطية.

لقد تم استخدام بيانات استهلاك الطاقة الكهربائية السنوية للمنطقة الجنوبية لإجراء المقارنة من خلال تطبيق البرنامج SPSS و Matlab و Minitab للتحليل الإحصائي، وتم بناء برنامج بلغة MatLab lap للشبكات العصبية ، ومن خلال التطبيق العملي وجد أن الشبكات العصبية. تعطي نتائج أفضل وأكثر كفاءة من الطريقة الكلاسيكية.

المصطلحات الرئيسية للبحث / منظومة الطاقة الكهربائية، أساليب التنبؤ، نماذج الاقتصاد القياسي، أسلوب بوكس-جينكينز، نموذج الانحدار الذاتي، نموذج الاوساط المتحركة، نماذج الاريميا ، أسلوب الخلية العصبية الاصطناعية.





المقدمة:

يحتل قطاع الكهرباء أهمية كبيرة بين القطاعات الأخرى في العراق لكونه يشكل عصب الحياة للمواطن ويؤثر بشكل مباشر وغير مباشر على الكثير من الحلقات ذات العلاقة بالمستوى المعيشي وجودة الحياة والتنمية الاقتصادية ومتطلبات الأمن والبيئة. لقد تعرض هذا القطاع للدمار بفعل الحصار والحروب والتخريب والسرقات مما جعله قاصراً عن تلبية الحاجة وأداء دوره المطلوب.

وقد ظل هذا القطاع يعني من اختلال بين عرض الطاقة الكهربائية وحجم الطلب عليها للأغراض الإنتاجية والاستهلاكية في حين ازداد معدل استهلاك الطاقة بشكل كبير في السنوات الماضية في العراق بشكل عام والمنطقة الجنوبية بشكل خاص، ولقد زاد الاهتمام بصناعتها لمواجهة هذا النمو المتتسارع وكان لابد من إنشاء محطات توليد كهربائية جديدة لمواجهة هذه الزيادة في الطلب على الطاقة الكهربائية، ومن المعروف أن إنشاء مثل هذه المحطات يحتاج إلى استثمارات كبيرة لم يتمكن العراق من توفيرها لسد العجز الحاصل في الانتاج. تتناول هذه الدراسة الطلب على الطاقة الكهربائية في المنطقة الجنوبية والتي تشمل أربع محافظات هي البصرة وميسان وذي قار والمثنى واهم العوامل المؤثرة في استهلاك الطاقة الكهربائية واستخدام عدة أساليب إحصائية في التنبؤ باستهلاك الطاقة الكهربائية. حيث يُعد التنبؤ بالسلوك المستقبلي للسلالس الزمنية من الموضوعات المهمة في العلوم الإحصائية، وذلك لمامله من دور مهم في التخطيط المستقبلي للقطاعات الاقتصادية للدولة. وقد اشتملت الدراسة ثلاثة مباحث، تناول المبحث الأول واقع المنظومة الكهربائية في العراق بصورة عامة والمنطقة الجنوبية على وجه الخصوص، واستعرض المبحث الثاني الأساليب الإحصائية المختلفة المستخدمة في عملية التنبؤ، أما المبحث الثالث فيضم الجانب التطبيقي وقد تم تطبيق هذه الأساليب على السلسلة الزمنية السنوية لاستهلاك الطاقة الكهربائية لمدة (1971-2013) في المنطقة الجنوبية وإجراء المقارنة بينها.

منهجية الدراسة: تم استخدام المنهج التحليلي من خلال جمع وتبوب البيانات وتحليلها باستخدام الطرائق الإحصائية، فضلاً عن التحليل الوصفي من خلال المنهج الاستقرائي والاستنبطاني .

مشكلة الدراسة: ان انخفاض انتاج الطاقة الكهربائية وعدم مواكيتها لزيادة الاستهلاك ادى الى كثرة الانقطاع في التيار الكهربائي مما يؤثر سلباً علىأغلب النشاطات اليومية والاقتصادية للأفراد. فالطلب على الطاقة الكهربائية في المنطقة الجنوبية يتزايد بوتيرة مستمرة مما يتطلب العمل في تلبية هذه الزيادة المستمرة وذلك بالتخطيط المستقبلي لمواجهة الزيادة في الاستهلاك.

فرضية الدراسة: ترتكز فرضية الدراسة على زيادة الدقة في التنبؤ لنماذج الشبكات العصبية على نماذج التنبؤ التقليدية في التنبؤات طويلة المدى، اذ تعد نماذج الشبكات العصبية أكفاء وأكثر دقة من النماذج التقليدية الأخرى في التعامل مع بيانات السلالس الزمنية غير الخطية.

أهمية البحث: ان التنبؤ المستقبلي بالطلب على الكهرباء سيساهم في حل مشاكل قطاع الطاقة الكهربائية من خلال التخطيط المستقبلي لتلبية الزيادة الحاصلة في الطلب على الطاقة الكهربائية .

هدف البحث : تهدف الدراسة الحالية الى تسليط الضوء على اختيار أفضل نموذج تنبؤات بالطلب المستقبلي على الطاقة الكهربائية للمنطقة الجنوبية باستخدام أساليب احصائية مختلفة (أسلوب تحليل السلالس الزمنية ، نماذج القياس الاقتصادي ، تحليل الشبكات العصبية) .



المبحث الأول / واقع المنظومة الكهربائية في العراق

١.١ انتاج الطاقة الكهربائية في العراق

شهد قطاع الكهرباء انخفاضاً في الطاقات الانتاجية في بداية التسعينات نتيجة تعرضه إلى الحروب والعقوبات الاقتصادية المفروضة، حيث تعرض قطاع الكهرباء إلى تدمير واسع ، ففي أحداث عام ١٩٩١ تعرضت محطات توليد الطاقة الكهربائية فضلاً عن شبكات نقل الطاقة إلى إضرار كبيرة و أدى ذلك إلى تعطل ما يقارب ٩٠% من الطاقة الكهربائية باستثناء المحطات الكهرومائية. وانخفضت الطاقة التصميمية بما يعادل ٤٢٦٪ كما انخفض المستوى التقني للمكان والمعدات المختصة بكافأة الإنتاج عن المستوى السابق له نتيجة تعرّض إضافة طاقات جديدة إذ بلغت نسب تعطل ٩٦٪ بالنسبة للمحطات البخارية في حين بلغت في المحطات الغازية بحدود ٨٥٪ كما بلغت ٤٪ في المحطات الكهرومائية، مما أدى إلى انخفاض الطاقة الانتاجية المتاحة للمحطات إلى ١٥٩٨ ميكواط بعد إن كانت قبل الحرب ٩٤١٦ ميكواط. كما ساهمت العقوبات الاقتصادية بـاستنزاف المعدات وصعوبة توفير الأدوات الاحتياطية لإدارة عمل هذه المحطات (8: 205-pp:118)، الامر الذي ادى الى زيادة مشاكل هذا القطاع. فائز هذا على ما تم من أعمال لقطعان القطاع الكهرباء بعد عام ١٩٩١ واستمر التدهور لهذا القطاع اذ وصل معدل التوليد الفعلى إلى اقل من ٤٠٠٠ ميكواط عام ٢٠٠٢ (11: p:14). وفي العام ٢٠٠٣ وما تلاه تفاقمت الإضرار المباشرة في محطات الانتاج ومحطات التوزيع الرئيسية وشملت الإضرار شبكات نقل الطاقة الكهربائية فضلاً عن شبكات تجهيز الوقود إلى محطات التوليد والمصافي، مما سبب انخفاضاً حاداً في طاقات انتاج ونقل الكهرباء. وبعد افتتاح العراق اقتصادياً والتحسين الكبير في المستوى المعاشي والاقتصادي لفرد العراقي لوحظ اقبال العديد من المواطنين بصورة واسعة على شراء الأجهزة الكهربائية ولاسيما أجهزة التكيف والتلفنة، وقد بلغت طاقة التوليد في العراق لعام (٢٠١٣) حوالي ١٦٩٥٢ ميكواط، حيث يعاني العراق حالياً من قصور شديد في انتاج الطاقة الكهربائية حيث ان الانتاج لا يسد الحاجة الفعلية لاستهلاك وهو يعطي حوالي اكثر من النصف من الطلب على الكهرباء، ويبلغ استهلاك الكهرباء حوالي ٤٠٠٥ ميكواط بساعة عام ٢٠١٣ (20: p:134) في حين ان الطاقة المنتجة لا تسد حاجة المواطنين مما يؤدي الى انقطاع التيار الكهربائي بالقطع المبرمج وغير المبرمج الناتج من اعطال المحطات الانتاجية ومحولات التوزيع.

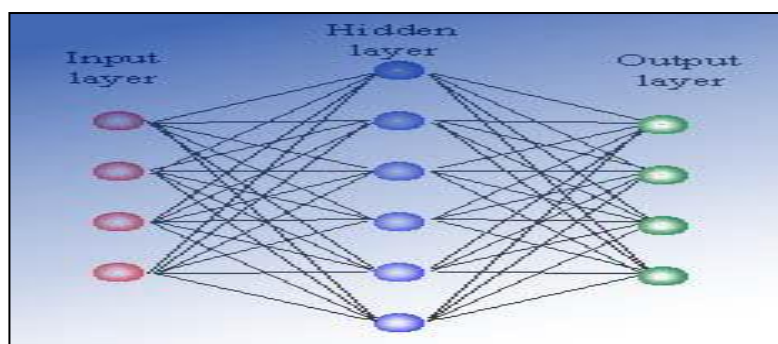
١.٢: محطات انتاج الطاقة الكهربائية في العراق:

يمكن تقسيم المحطات الكهربائية في العراق على ثلاثة أنواع رئيسية وهي المحطات الحرارية البخارية والمحطات الغازية والمحطات الكهرومائية. وهي تتوزع في مختلف المحافظات العراقية. وبلغ عددها ٣٠ محطة توليد منها ١٣ محطة غازية و ٩ محطات كهرومائية و ٨ محطات حرارية (١٩: p:3) وأن معظم انتاج الطاقة الكهربائية في العراق يتم توليده من مصادر الطاقة الاحفورية (النفط الخام والغاز الطبيعي). حيث انخفضت نسبة اسهام الطاقة الكهرومائية في اجمالي الطاقة الكهربائية المنتجة وذلك نتيجة شحه وتذبذب مناسبات المياه الواردة من منابعها في ترکيا بشكل عام، وانخفاض نفقات الصيانة على المحطات التوليدية المائية المقامة على السدود، حيث تزود محطات الطاقة الكهرومائية في اغلب انتاجها المنطقة الشمالية ، وعلى الرغم من المزايا التي تتمتع بها هذه المحطات مثل طول العمر الإنتاجي وقصر مدة التشغيل، وقلة الحاجة إلى المواد الاحتياطية، فضلاً عن كونها نظيفة بيئياً وغير ملوثة لها، إلا ان العراق لم يتسع بالاستثمار فيها نتيجة استمرار انخفاض التدفقات المائية لنهرى دجلة والفرات، ومن ثم انخفاض مناسبات السدود والخزانات لتوليد الطاقة الكهرومائية(2: p:18). وتبلغ نسبة اسهام المحطات الكهرومائية حوالي ١٤.٨٢٥٪ من اجمالي التوليد لعام ٢٠١٣ (20: p:136). وعلى الرغم من ان النقص الحاد يامددات الطاقة الكهربائية وزيادة عدد ساعات تقطين التيار الكهربائي في العراق ناجم عن محدودية انتاج محطات التوليد المتأتي من تقادم أغلبها، فضلاً عن آثار عمليات التخريب التي طالت بعض منشآت المنظومة الكهربائية (12: pp:23-27) الا أن العجز في تأمين إمدادات الطاقة الكهربائية في العراق ناجم عن تداعيات مشكلة مرتكبة تقوم على ثلاثة اضلاع تشمل الانتاج والنقل والتوزيع ، مما يفرض على إدارة الطاقة عدم الركون إلى الترکيز على معالجة النقص الحاصل بالإنتاج المتأتي من قلة محطات التوليد أو محدودية طاقاتها التصميمية، وإغفال جوانب المشكلة الأخرى المتمثلة بمنظومتي نقل الطاقة، وتوزيعها على المستهلكين (2: p:16).



المبحث الثاني/ التنبؤ بالسلسلة الزمنية

تعد عملية التنبؤ بالقيم المستقبلية من الاهداف الاساسية للعلوم الاحصائية، اذ ان التنبؤ اهمية كبيرة في عملية التخطيط واتخاذ القرارات في المجالات كافة، وعن طريق التنبؤ نستطيع التعرف على الظروف والحالة المحيطة بالمشكلة قيد الدراسة قبل اتخاذ أي قرار، لذلك فان موضوع التنبؤ لا يقتصر على اهتماماً كبيراً ومتزايداً من قبل الباحثين واصحاب القرارات. لقد اهتم الباحثون بتطوير الالساليب المختلفة لغرض اجراء التنبؤ، وبعد التنبؤ باستخدام الشبكات العصبية Neural Networks ، انظر الشكل (١)، من احدث وسائل التنبؤ على النطاق العالمي، اذ مازالت البحوث مستمرة في هذا المجال للتعرف على فعالية هذا الاسلوب . ويمكن القول أن الغاية الأساسية من طائقن السلاسل الزمنية تتمثل بالحصول على نماذج يمكن استعمالها لوصف المشكلة وبالنتيجة التنبؤ بمستقبل الظاهرة المدروسة. أن مسألة التنبؤ تعتمد أساساً على تقديرات معلمات النموذج الملائم لبيانات السلسلة الزمنية، ولمعرفة شكل النموذج الملائم أهمية خاصة اذ أن أي خطأ في تحديد النموذج يقود إلى تقديرات في غير محلها، ومن ثم تكهنات لا يعتمد عليها عند اتخاذ القرار.



شكل (١): مكونات الشبكة العصبية

المصدر: ميشيل تيجنفيستكي (٢٠٠١) " الذكاء الاصطناعي دليل النظم الذكية " ترجمة محمد يحيى عبد الرحمن، الرياض، دار المريخ ، ص ٢٥١-٢٦٢

١.٢: اساليب التنبؤ:

تنقسم اساليب التنبؤ تبعاً للمنهجية المعتمدة على قسمين رئيسيين : الاول هو الاساليب غير النظامية ، اما القسم الثاني فهو الاساليب النظامية.(٣;p:20). لقد أظهرت التجارب عدم وجود طريقة تنبؤية معينة ملائمة لجميع الحالات، بل إن لكل حالة طريقة تنبؤ خاصة بها يتعين البحث عنها واستخدامها. إلا أن الأخذ بأكثر من طريقة قد يؤدي إلى رفع درجة دقة التقديرات المستقبلية، وفي دراستنا الحالية تم اعتماد عدة طائقن للتنبؤ باستهلاك الطاقة الكهربائية وسيتم في هذه الفقرة توضيح كل منها بياجاز وعلى وفق الآتي:-

١. نماذج القياس الاقتصادي:

يتم الاعتماد في هذه الطريقة على المتغيرات التفسيرية لتحديد سلوك المتغير موضع الدراسة، ومن النماذج التي سيتم اعتمادها ضمن هذا الاسلوب هي:

- أ. نموذج الانحدار الخطى
- ب. نموذج اللوغاريتمي المزدوج
- ت. نموذج نصف اللوغاريتمي

فالدراسة الحالية تعنى بتفسير استهلاك الطاقة الكهربائية Y_t في المنطقة الجنوبية بالاعتماد على عدد المشترعين X_1 ومتوسط نصيب الفرد من الدخل X_2 وسعر الكيلو واط/ ساعة من الكهرباء X_3 فضلاً عن متغير استهلاك الطاقة الكهربائية في الفترات السابقة Y_{t-1} . فتتم صياغة النموذج وتقدير معلماته باستخدام الوسائل الإحصائية المتوفّرة مثل طريقة المربيعات الصغرى الاعتيادية OLS (22; p:84)



2. اسلوب بوكس-جينكينز

طورت طرق بوكس-جينكينز من قبل جورج بوكس وجويلم جينكينز (George Box and Gwilym Jenkins, 1976) لتحليل السلسلة الزمنية المستقرة Stationary. وتكون السلسلة مستقرة عندما تكون متوازنة ولا تتغير عبر الزمن أي ان متوسطها الحسابي Mean وتبانها Variance ثابتان ، ويعتمد التغاير Covariance بين فترتين على درجة الإبطاء بين تلك الفترتين وليس على النقطة الزمنية التي حسب عندها الارتباط. فلو قسمت السلسلة على مجموعة فترات زمنية فإن متوسطات وتبانيات قيم السلسلة لفترات المختلفة تكون متساوية، ويكون الارتباط نفسه بين قيم السلسلة المتتابعة في الفترات جميعها.

أي ان : (7; p:262)

$$E(Y_t) = E(Y_{t+k}) = \mu$$

$$\text{var}(Y_t) = E[Y_t - E(Y_t)]^2 = \text{var}(Y_{t+k}) = E[Y_{t+k} - E(Y_{t+k})]^2 = \gamma(0) = \sigma^2 < \infty \quad \forall t$$

$$\text{cov}(Y_t, Y_{t+k}) = E[(Y_t - \mu)(Y_{t+k} - \mu)] = \text{cov}(Y_{t+k}, Y_{t+k+s}) = \gamma(k)$$

ويمكن تمثيله بيانياً، فالمحور الأفقي يمثل الزمن و يمثل المحور العمودي قيم السلسلة، فتكون السلسلة مستقرة عندما تتمركز قيمها حول خط مستقيم أفقي يمر بمتوسطها، فلا يزيد تقارب القيم أو تتشتت باختلاف الزمن أي لا يظهر نمط خلاف نمط الخط المستقيم الأفقي. وفي الواقع من الصعب تحديد كون السلسلة مستقرة ، لذا جاءت طرق بوكس جينكينز لتحويل السلسلة غير المستقرة إلى سلسلة مستقرة. وتشمل نماذج بوكس جينكينز على: (13; p:234)

1. نموذج الانحدار الذاتي Autoregressive Model

يشير الانحدار الذاتي الى أن قيمة السلسلة في زمن معين تحدد قيمتها في الزمن (أو الأزمنة) السابقة لها، وكالاتي:

١. $P = 0$: إذا كانت القيمة الحالية لا تتأثر بالقيم السابقة.

٢. $P = 1$: إذا كانت تتأثر بالقيمة السابقة.

٣. $P = 2$: إذا كانت كلتا القيمتين السابقتين تحددان القيمة الحالية. وهذا، وتمثل p درجة نموذج الارتباط الذاتي. ويرمز له بالرمز AR(p) وتكون صيغة نموذج الانحدار الذاتي على وفق الآتي :

$$Y_t = \phi_1 Y_{t-1} + \phi_2 Y_{t-2} + \dots + \phi_p Y_{t-p} + e_t \quad \dots \quad (1)$$

حيث أن Y_t : تمثل قيمة السلسلة عند الزمن t ، وان $\phi_1, \phi_2, \dots, \phi_p$ تمثل معلمات النموذج، e_t يمثل الخطأ العشوائي ومشاهداته غير مرتبطة مع بعضها أي ان:

$$E(e_t) = 0$$

$$E(e_t e_{t+k}) = \begin{cases} 0 & k \neq 0 \\ \sigma_e^2 & k = 0 \end{cases}$$

2. **المتوسطات المتحركة** (Moving Averages) يعني أن قيمة السلسلة في زمن معين تحدد لها قيمة الخطأ العشوائي stochastic error (الفرق بين قيمة السلسلة والمتوسط المتحرك) في ذلك الزمن وقيمة الخطأ العشوائي في الزمن (أو الأزمنة) السابقة له، وكالاتي:

١. $q = 1$: يعني أن القيمة الحالية للسلسلة لا تعكس شيئاً من الأخطاء العشوائية السابقة.

٢. : يعني أن الخطأ العشوائي للزمن السابق اشتراك في تحديد قيمة السلسلة الحالية.



٣. $q = 2$: يعني أن الخطأين العشوائيين للزمنين السابقين اشتراكاً في تحديد القيمة الحالية للسلسلة. وهكذا. ويمكن التعبير عن المتوسط المتحرك وفق الصيغة الآتية:

$$Y_t = e_t + \theta_1 e_{t-1} + \dots + \theta_q e_{t-q} \quad \dots \quad (2)$$

ويرمز لهذا النموذج بـ $MA(q)$ حيث q تمثل درجة النموذج. حيث أن: Y_t يمثل القيمة المتوقعة عند زمن t ، e_t يمثل الخطأ العشوائي و $\theta_{t-1}, \dots, \theta_{t-q}$ عبارة عن معلمات للمتوسط المتحرك. وباختصار، فإن عنصر المتوسط المتحرك يعبر عن توليفة من الأخطاء العشوائية السابقة.

٣: النماذج المختلطة Mixed Auto Regressive-Moving Average Models

أن الكثير من السلسل الزمنية المستقرة لا يمكن تمثيلها كنموذج الانحدار الذاتي AR(p) أو نموذج الأوساط المتحركة MA(q) فقط لأن هذا النوع من السلسل غالباً لها خواص كلا النموذجين، لذلك يمكن تمثيلها بنموذج يتضمن خواص هذين النموذجين والذي يسمى بالنموذج المختلط ويرمز له ARMA(p,q) حيث يمثل درجة الانحدار الذاتي ويمثل (p) درجة الأوساط المتحركة (q).

$$Y_t = \phi_1 Y_{t-1} + \phi_2 Y_{t-2} + \dots + \phi_p Y_{t-p} + e_t - \theta_1 e_{t-1} - \theta_2 e_{t-2} - \dots - \theta_q e_{t-q} \quad \dots \quad (3)$$

وبادخال معامل التباطئ B فإن الصيغة تصبح كالتالي:

$$(1 - \phi_1 B - \phi_2 B^2 - \dots - \phi_p B^p) Y_t = (1 - \theta_1 B - \theta_2 B^2 - \dots - \theta_q B^q) e_t$$

اي ان:

$$\phi(B) Y_t = \theta(B) e_t \quad \dots \quad (4)$$

الآن أغلب السلسل الزمنية هي سلسل غير مستقرة فقد يكون الاتجاه العام عناصراً من عناصر هذه السلسل وفي هذه الحالة يطلق على هذه الطريقة "نماذج ARIMA Models" ، المكونة من الانحدار الذاتي المتكامل للمتوسط المتحرك (Auto-regressive Integrated Moving Average) من الدرجة (p,d,q) ، واختصاراً تكتب ARIMA (p,d,q) ، درجة المتوسط المتحرك (d) ودرجة التكامل (Q). كما يشير عنصر التكامل في نماذج ARIMA ، إلى استقرار السلسلة الزمنية، لذا نلجأ إلى إجراء عملية فرق To Difference لتحويل السلسلة غير المستقرة إلى سلسلة مستقرة. ولهدف الحصول على سلسلة مستقرة نستخدم W_t كسلسلة مفرقة وعلى وفق الآتي:

$$W_t = \nabla^1 Y_t = Y_t - Y_{t-1} \quad , \quad t = 2, 3, \dots, N$$

او يؤخذ الفرق الثاني لكي تستقر وكالتالي:
وبصورة عامة تستقر السلسلة الزمنية بعد الفرق d ووفقاً للصيغة الآتية:

$$W_t = \nabla^d Y_t \quad t = d+1, d+2, \dots, N \quad \dots \quad (5)$$

وتصبح السلسلة $\nabla^d Y_t$ مستقرة. ويمكن تمثيلها كالتالي:

$$\phi(B) \nabla^d Y_t = \theta(B) e_t \quad \dots \quad (6)$$



تمر منهجية بوكس جينكز بالمراحل الآتية:

1. تشخيص النموذج **Model Identification**: يتم تشخيص النموذج وتحديد درجة أي تحديد رتبة كل من (p) و (q) و (d) وذلك عن طريق رسم دالة الارتباط الذاتي والارتباط الجزئي وتحليل منخنياتها البيانية، والجدول (1) يعطي صورة ملخصة لسلوك دالة الارتباط الذاتي والارتباط الجزئي للنموذج.

جدول (1)

سلوك دالة الارتباط الذاتي والارتباط الذاتيالجزئي لنماذج بوكس جينكز الاموسمية

الأنموذج	دالة الارتباط الذاتي (ACF)	دالة الارتباط الذاتي الجزئي (PACF)
AR(P)	تناقص تدريجياً متذبذبة سلوكاً أسيّاً أو سلوك دالة الجيب المتباينة (يتلاشى تدريجياً)	تنقطع بعد الإزاحة p
MA(q)	تنقطع بعد الإزاحة q	تناقص تدريجياً متذبذبة سلوكاً أسيّاً أو سلوك دالة الجيب المتباينة (يتلاشى تدريجياً)
ARMA(P,q)	تناقص تدريجياً سالكة سلوكاً أسيّاً أو سلوك دالة الجيب المتباينة (يتلاشى تدريجياً)	تناقص تدريجياً سالكة سلوكاً أسيّاً أو سلوك دالة الجيب المتباينة (يتلاشى تدريجياً)

المصدر: من أعداد الباحثين اعتماداً على (عدنان هاشم الوردي، أساليب التنبؤ الإحصائي-طرق وتطبيقات، مطبعة دار الحكمة، الطبعة الأولى، العراق، ١٩٩٠ ، ص ٢٧٣ - ٢٧٤) .

كما يمكن تشخيص النموذج الملائم بالاعتماد على المعايير الإحصائية MSE و AIC و SBC ، وتكون صيغة كل من AIC و SBC على وفق الآتي: (1; p:33)

$$AIC = n \ln(\hat{\sigma}_i^2) + 2(M)$$

حيث ان: M : عدد معلمات النموذج.

$\hat{\sigma}_i^2$: القيمة المقدرة لتباين الخطأ. وهو المعيار الذي اقترحه الباحث (Akaike) عام ١٩٧٣ ويسمى Akaike's Information Criterion ويستخدم في تشخيص وتحديد رتبة النموذج.

$$3. \quad SBC = n \ln(\hat{\sigma}_i^2) + M \ln(n)$$

والذي اقترحه (Schwartz) ويدعى (Schwartz Bayesian Criterion) عام 1978 وهو مشابه لمعيار AIC. ويتم اختيار النموذج الملائم الذي يعطي أقل قيم لهذه المعايير. وفي دراستنا الحالية تم اعتماد طريقة الرسم بالإضافة إلى معيار MSE لاختيار النموذج.

١. **تقدير النموذج Model Estimation**: في هذه المرحلة يتم تقدير معلمات النموذج (ϕ, θ) التي تجعل مجموع مربعات الأخطاء أقل ما يمكن. ويتم ذلك باستخدام طرائق التقدير الآتية. (24; pp:250-258)

(أ). طريقة المربعات الصغرى الخطية Linear Least Square Method كانت شرطية او غير شرطية.

(ب) طريقة المربعات الصغرى غير الخطية Non-Linear Least Square Method .

(ج). طريقة الامكان الاعظم Maximum Likelihood Method. المشروطة Conditional Likelihood او غير المشروطة Unconditional Likelihood .

٢. **اختبار مدى ملاءمة النموذج Model Diagnostic Checking**: يتم في هذه المرحلة اختبار النموذج المقدر للتحقق من عشوائية الباقي بذلك على وفق الآتي: (1; pp:34-35)

أ. حدود الثقة لمعاملات الارتباط الذاتي وعلى وفق الآتي:

$$\Pr\left(\frac{-1.96}{\sqrt{n}} \leq \hat{\rho}_k \leq \frac{1.96}{\sqrt{n}}\right) = 0.95$$

وتتوزع معلمة معامل الارتباط الذاتي طبيعياً بوسط حسابي (صفر) وتباين ($\frac{1}{n}$).



$$\hat{\rho}_k \sim N(0, \frac{1}{n})$$

وأن عدم معنوية الارتباط الذاتي دليل على عشوائية الاخطاء. وتكون دالة الارتباط الذاتي لبواقي النموذج المشخص على وفق الصيغة الآتية:

$$\hat{\rho}_k = \frac{\sum_{t=k+1}^{n-k} e_t e_{t-k}}{\sum_{t=1}^n e_t^2}$$

(ب) اختبار Q (Box-Pierce)

$$Q = n \sum_{k=1}^m \hat{\rho}_k^2$$

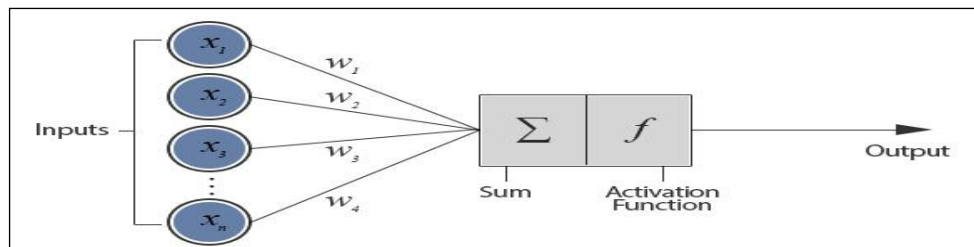
$$Q_{LB} = n(n+2) \sum_{k=1}^m (n-k)^{-1} \hat{\rho}_k^2 \quad (\text{ج) اختبار Ljung-Box } Q_{LB})$$

وتتوزع كل من Q و Q_{LB} توزيع مربع كاي بدرجات حرية مقدارها m (χ^2_m) فإذا كانت قيمة الاحصاء المحسوبة اصغر من χ^2 الجدولية بمستوى معنوية معين ودرجة حرية m فهذا دليل على ان الارتباطات غير معنوية أي تكون البواقي عشوائية وتتوزع بشكل مستقل مما يؤكد على توفيق النموذج الملام والعكس صحيح.

التنبؤ Forecasting : يتم في هذه المرحلة إيجاد القيم المستقبلية للظاهرة محل الدراسة من خلال استخدام النموذج الملام الذي تم الحصول عليه بموجب المراحل السابقة، والتنبؤ الامثل هو التقدير الذي يعطي خطأ صغيراً جداً وتباعين أقل ما يمكن (9; pp:74-76).

٣. أسلوب الشبكة العصبية الاصطناعية ANN (Artificial Neural Networks)

تتكون الشبكة العصبية من مجموعة مركبة من عدة عناصر معالجة يطلق عليها اسم العقدة (neuron) وتعتمد على نماذج رياضية لمعالجة البيانات المتمثلة في ثلاثة طبقات هي (17; pp:2-3): (المدخلات Input ، المخفية Hidden ، المخرجات output) لكل منها اوزان مختلفة كما مبين في الشكل (١). يتم تدريب الشبكة العصبية لتوليد أفضل النتائج من خلال عملية ضبط الاوزان المعتمدة (6; p:23). والشكل (٢) يوضح مكونات الخلية العصبية الاصطناعية .



شكل (٢) : مكونات الشبكة العصبية الاصطناعية

المصدر: ميشيل تيجنفيستكي (٢٠٠١) "الذكاء الاصطناعي دليل النظم الذكية" ترجمة محمد يحيى عبد الرحمن، الرياض، دار المربيخ ، ص ٢٥١-٢٦٢.



ان جودة التنبؤات المستقبلية ظاهرة معينة التي يمكن الحصول عليها من الشبكة العصبية تعتمد على مدى كفاءة تدريب الشبكة العصبية ومن تلك العوامل: (12; p:10) معدل التعلم ، عامل العزم ، عدد المتوجهات في الشبكة العصبية، عدد العقد المخفية، فضلاً عن عدد المستويات المخفية.

خوارزمية الشبكة العصبية ذات الانتشار العكسي:

من أكثر خوارزميات التدريب استخداماً، تستخدم في تدريب الشبكات العصبية كاملة الارتباط وذات التغذية الأساسية ومترددة الطبقات وغير الخطية وتعد هذه الخوارزمية تعليم لطريقة التدريب بنمط تصحيح الخطأ. يتم تنفيذ هذه الخوارزمية من خلال مرحلتين رئيستين هما: (5; p:54)

المرحلة الأولى: الانتشار الأمامي Forward Propagation

المرحلة الثانية: الانتشار العكسي Back Propagation

ان خوارزمية شبكة الانتشار العكسي للخطأ تعتمد على اختيار دالة خطأ مناسبة، والتي تتحدد قيمها بالنتائج الحقيقة Actual والقيم المطلوب الحصول عليها Desired والتي تعتمد ايضاً على معالم الشبكة مثل الأوزان والعتبة. (16; p:10) ويمكن تلخيص خطوات خوارزمية الانتشار العكسي في الآتي: (21; p:22)

أ - وضع القيم الابتدائية : تحدد قيم الأوزان ومعلمة التعلم ومستويات العينة Θ

ب- التنشيط : يتم تنشيط شبكة الانتشار للخلف عن طريق تطبيق المدخلات x_i والمخرجات المرغوبة y_d

ج - يتم حساب المخرجات الفعلية لوحدات المعالجة في الطبقة المخفية ثم طبقة المخرجات (15; pp:1-32)

د- تدريب الأوزان : تجدد الأوزان عن طريق نشر الأخطاء المصاحبة لوحدات المعالجة للخلف ويحسب الميل أو انحدار الأخطاء لوحدات المعالجة في طبقة المخرجات والطبقة الخفية.

شبكات البيرسبيرون متعدد الطبقات:- (MLP)

من أكثر الشبكات استخداماً في التنبؤ بالسلسلة الزمنية ، تقوم فكرة هذه الشبكة على استخدام القيم السابقة للسلسلة الزمنية كمدخلات للشبكة ، ويتم تجميع الأوزان في الطبقة الخفية بالنسبة للمدخلات ، ويتم استخدام التحويلة غير الخطية (sigmoid) طبقة المخرجات للشبكة تستقبل مخرجات الطبقة الخفية وتطبق عليها التحويلة الخطية حيث يتم إنتاج القيم المتنبأ للسلسلة الزمنية. الشكل القياسي لعمارية شبكة MLP التي يكثر استخدامها في التنبؤ تتصف بالآتي :

(4; p:33) : 1 - شبكة ذات بنية معمارية متكاملة الترابطات.

2 - تحييز وترتبط مختصرة مباشرة من المدخلات إلى وحدات المخرجات.

3 - طبقة خفية واحدة مع دالة تحفيز لوجستية وذلك لتحسين عدم الخطية في الوحدات الخفية.

4 - طبقة مخرجات تستخدم مع وحداتها دالة خطية لوزن مدى المخرجات وغالباً يكون المدى بين (0,1) .

النموذج العام لشبكة MLP الذي يستخدم في التنبؤ يعطى على وفق الآتي:

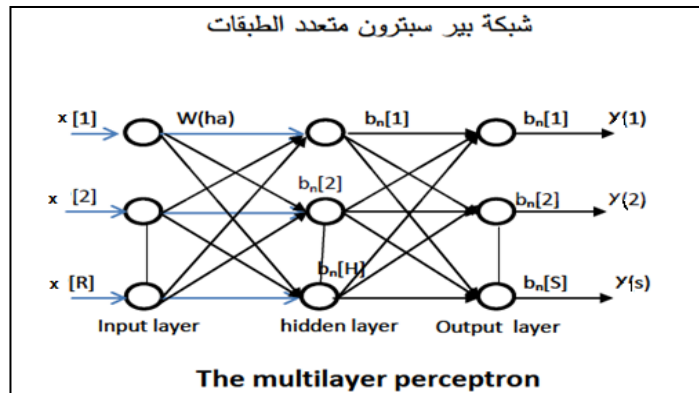
$$\hat{x}(t) = w_0 + \sum_{j=1}^h w_j f_j \left[\sum_{i=1}^n w_{ij} x(k-i) \right] + w_{j0} \dots \quad (7)$$

حيث ان: h : عدد وحدات الطبقة الخفية n : عدد وحدات المدخلات.

w_{ij} : الأوزان بين المدخلات والطبقة الخفية.

w_j : الأوزان بين الطبقة الخفية وطبقة المخرجات.

f_j : دالة تحفيز سigmoid function في الوحدات الخفيةth).



الشكل (٣) شبكة عصبية MLP

المصدر: ميشيل تيجنفيستكي ، "الذكاء الاصطناعي دليل النظم الذكية " ، ترجمة محمد يحيى عبد الرحمن الرياض ط١ ، دار المریخ 2001 ، ص265.

تم استخدام أسلوب شبكة البيرسبرتون متعدد الطبقات (MLP) لبناء نموذج الشبكة لبيانات الدراسة الحالية وتعتبر (MLP) من أهم أنواع الشبكات التي تستخدم في التنبؤ بالسلسل الزمنية ان معمارية الشبكة المختارة تكونت من ثلاثة طبقات (طبقة المدخلات - طبقة الخفية - طبقة المخرجات) وهذه الطبقات متكاملة الترابط فيما بينها بواسطة الوصلات البنية التي تحمل الأوزان.(pp:25-30;25)، وتم تحديد هذه المعمارية من خلال تجريب عدد من التراكيب المختلفة والمقابلة بينها من خلال بعض المعايير الإحصائية مثل معامل الارتباط (R) بين مدخلات ومخرجات(p:56;5). وقد توزعت عناصر المعالجة في طبقات الشبكة الثلاثة كما يأتي طبقة المدخلات بها اربعة من عناصر المعالجة ويتم تحديدها في هذه الطبقة بناءا على عدد مدخلات الشبكة x_1, x_2, x_3, x_4 اما الطبقة الخفية فان عدد عناصر المعالجة في هذه الطبقة تختلف من شبكة إلى أخرى حيث يتم تحديد العناصر هنا عن طريق التجربة والبحث المستمر، وتم الاعتماد على معامل الارتباط طبقة المخرجات وبها عنصر معالجة واحد فقط ويتم تحديدها أيضا بناءا على مخرجات الشبكة وفي حالة التنبؤ دائما يساوي واحد. تم الاعتماد على الدالة اللوجستية **logistic function** كدالة تحفيز في الطبقة الخفية وكذلك في طبقة المخرجات . ويتوقف زمن التدريب على تركيبة الشبكة وعدد وحدات المعالجات وعدد الطبقات والقيم الابتدائية المختارة للأوزان ومعدل التعلم ويتم التوقف من التدريب عندما يصل خطأ الشبكة إلى المستوى المقبول إحصائيا (p:23) . تم تدريب الشبكة لعدد من المرات المتكررة من أجل تعليم الشبكة وتم الاعتماد على بعض المعايير الإحصائية مثل مجموع متوسطات الخطأ (MSE) من أجل مراقبة عملية التعلم في الشبكة.

خوارزمية التدريب: تم الاعتماد على الدالة اللوجستية **logistic function** كدالة تحفيز في الطبقة الخفية وكذلك في طبقة المخرجات. بعد الانتهاء من عملية التدريب تبدأ عملية الاختبار وذلك بتقديم بيانات الاختبار

للشبكة حتى يتم التأكد من أداء الشبكة ومدى مقدرتها على حساب المخرجات الصحيحة وتعتمد هذه المرحلة بصورة أساسية على الأوزان المتحصل عليها من مرحلة التدريب (p:21;10).

$$u = \sum_{i=1}^N w_i x_i \quad \dots \quad (8)$$

$$y = f(u - \theta) \quad \dots \quad (9)$$



حيث أن: x_N تمثل الادخالات ، x_1, x_2, \dots, x_N تمثل الأوزان، u : يمثل استجابة العقدة، θ : تمثل العتبة، y : تمثل اخراج الشبكة، (f): تمثل دالة الحساسية. ويمكن إعادة صياغة المعادلتين السابقتين وذلك بجعل قيمة $w_0 = \theta$ و $x_0 = 1$ حيث ستكون المعادلة:

$$\sum_{i=1}^N w_i x_i - \theta = \sum_{i=1}^N w_i x_i \dots \quad (10)$$

$$y = f\left(\sum_{i=0}^N w_i x_i\right) \dots \quad (11)$$

أما دالة التنشيط المستخدمة في شبكة الانتشار العكسي للخطأ فهي دالة Sigmoid والمعرفة على وفق الآتي: (10; p:21).

$$f(u) = \frac{1}{1 + \exp(-au)} \dots \quad (12)$$

حيث أن a هي معامل الميل. في خطوة الانتقال الأمامي للشبكة، متوجه الإدخال $y^{(p)}$ وكل عصبون مخفى j يستقبل مدخلات الشبكة ويحسب المعادلة الآتية:

$$x_j^{(p)} = \sum_k w_{jk} y_k^{(p)} \dots \quad (13)$$

حيث w_{jk} يمثل الوزن بين العقدة المخفية j وعقدة الإدخال k . وتتضمن خوارزمية الشبكة أربع خطوات وهي:

١. حساب سرعة تغيير الخطأ عندما تتغير وحدة الارجاع

$$E = \frac{1}{2} \sum_j (y_j - d_j)^2 \quad \text{إن الخطأ } E \text{ يحسب وفقاً للمعادلة الآتية:}$$

حيث أن: y_j : تمثل الطبقة النشطة من الوحدات j في الطبقة الأولى. d_j : الارجاع المرغوب فيه من الطبقة j .

ان حساب سرعة تغيير الخطأ عندما يستلم إدخال جديد ينتج من تغير في وحدات الارجاع هذه الكميه (EI) هي ناتج الخطوة الأولى مضروبة في نسبة تغير وحدة الارجاع عند تغير وحدات الإدخال

٢. حساب التغير في الأخطاء عندما يتغير وزن الرابط عند التغير في وحدات الارجاع.

٣. حساب التغير في الخطأ عندما تتغير فعالية الوحدة في المستوى السابق.

إن دالة التنشيط Activation Function للعصبونات في الشبكات العصبية تستخدم خوارزمية الانتشار العكسي وهو المجموع الموزون (مجموع الإدخال مضروبًا بالأوزان)

$$X_j = \sum_i y_i W_{ij} \quad ; y: \text{مستوى الفعالية للوحدة } j \text{ في الطبقة السابقة.}$$

W_{ij} : وزن الارتباط بين العقدة i و العقدة j .

ويتبين من المعادلة إن التنشيط يعتمد على الأوزان والإدخال فإذا كانت دالة الارجاع identity أي (الارجاع الحساسية) عندئذ تسمى العقدة خطية Linear ولكن مثل هذه الحالة لا تتحقق إلا بشرط صارمة.

2.2: اختبارات دقة التنبؤ

سنعتمد على هذه الاختبارات للمقارنة بين النماذج المستخدمة في الدراسة الحالية لمعرفة النموذج الأكثر دقة في التنبؤ والذي يمتلك أقل قيمة لهذه المقاييس وهذه الاختبارات هي: (14; pp:262-263)

أ- متوسط مربعات الخطأ Mean Square Error {MSE}

$$MSE = \sum_{t=1}^n e_t^2 / n \quad ; \text{ويمكن إيجاده بالصيغة الآتية:}$$



بـ- الجذر التربيعي لمتوسط مربعات الخطأ {RMSE}

$$RMSE = \sqrt{\sum_{t=1}^n e_t^2 / n}$$

ويمكن إيجاده بالصيغة الآتية:

جـ متوسط القيم المطلقة للخطأ Mean Absolute Error {MAE}

$$MAE = \sum_{t=1}^n |e_t| / n$$

ويكون وفق الآتي:

د- متوسط نسب القيم المطلقة للخطأ Mean Absolute Percentage Error {MAPE}

$$MAPE = \sum_{t=1}^n \left(\frac{|e_t|}{Y_t} \right) / n$$

وتكون صيغته وفق الآتي:

المبحث الثالث/ الجانب التطبيقي

اولاً: التقدير باستخدام النماذج: تم تحليل البيانات المستحصل عليها من مديرية توزيع كهرباء المنطقة الجنوبية ومركز السيطرة الجنوبي. باستخدام البرامج الاحصائية SPSS و Minitab و Matlab و تمثل هذه البيانات (مقدار استهلاك الطاقة الكهربائية السنوية للمنطقة الجنوبية (ميغاواط/ساعة) ومتوسط دخل الفرد وسعر الكيلو واط من الكهرباء وعدد المشتركين واستهلاك الطاقة الكهربائية في المدة السابقة) * وللمدة من ١٩٧١ الى ٢٠١٣ .

١. نماذج القياس الاقتصادي:

يتم في هذه الفقرة استخدام اسلوب الانحدار الخطى المتعدد بعد أن تم التأكيد من وجود علاقة خطية بين كل من المتغيرات التفسيرية مع استهلاك الطاقة الكهربائية كلا على حده. وكما موضح فيما يأتي حيث يتم تقدير معادلة استهلاك الطاقة الكهربائية مع كل متغير تفسيري على حده، وكما موضح في الجدول(2).

جدول(2)

نتائج تقدير معادلة استهلاك الطاقة الكهربائية الخطية مع جميع المتغيرات التفسيرية قيد الدراسة كل على حدة

معادلة التقدير	المعلمات $\hat{\beta}$	t	R^2	\bar{R}^2	F
$\hat{Y}_t = 266289.1 + 0.927X_1$	$\hat{\beta}_0$ $\hat{\beta}_1$	16.985 13.021	0.805	0.801	169.549
$\hat{Y}_t = -562383.6 + 11.409X_2$	$\hat{\beta}_0$ $\hat{\beta}_2$	-0.901 6.968	0.542	0.531	48.551
$\hat{Y}_t = 271277 + 72204.99X_3$	$\hat{\beta}_0$ $\hat{\beta}_3$	16.279 11.947	0.777	0.771	142.730
$\hat{Y}_t = -796155.4 + 1.325Y_{t-1}$	$\hat{\beta}_0$ $\hat{\beta}_4$	-4.323 25.795	0.942	0.941	665.388

المصدر: من اعداد الباحثين بالاعتماد على بيانات الدراسة و باستخدام برنامج spss



مديريّة توزيع كهرباء المنطقة الجنوبيّة ومركز السيطرة الجنوبيّ. والمجاميع الاحصائيّة لسنوات متفرقة بين الجدول (2) العلاقة الخطية بين استهلاك الطاقة الكهربائيّة (Y_t) وكل من متوسط نصيب الفرد من الدخل (X_1) وعدد المشتركين (X_2) وسعر الكيلو الواط من الكهرباء (X_3) والمتغير الذاتي لاستهلاك الطاقة الكهربائيّة في المدة الماضية (Y_{t-1}) ومعنىّة تلك العلاقة من خلال اختبار F عند مقارنة قيمة F المحاسبة مع قيمة F الجدولية عند مستوى دلالة (5%) البالغة (4.08)، كما نلاحظ أن قيمة t المحاسبة لكل معامل انحدار في المعادلات التقديرية أكبر من قيمة t الجدولية وبالنسبة (2.000) عند دلالة (5%) وهذا يشير إلى معنىّة معامل الانحدار في كل معادلة من معادلات التقدير. مما يدل على أن كل متغير من متغيرات التفسير قيد الدراسة له تأثير معنوي على متغير استهلاك الطاقة الكهربائيّة، كما ان اشاره المعلمات تتفق مع منطق النظرية الاقتصاديّة اذ تنص على أن العلاقة تكون طردية (موجبة) بين استهلاك الطاقة الكهربائيّة وكل من (متوسط نصيب الفرد من الدخل، عدد المشتركين والمتغير الذاتي لاستهلاك الطاقة الكهربائيّة في المدة الماضية) الا ان اشاره المتغير (X_3) سعر الكيلو الواط من الكهرباء جاءت موجبة ومختلفة للمنطق الاقتصادي، كما ان هناك علاقة ارتباط بين المتغيرات التفسيرية وبين متغير استهلاك الطاقة الكهربائيّة وهذا ما

يعكسه معامل التحديد R^2 ومعامل التحديد المعدل \bar{R}^2 في جميع معادلات الانحدار. تم تقدير معادلة استهلاك الطاقة الكهربائيّة بالاعتماد على جميع المتغيرات التفسيرية باستخدام عدّة صيغ وكما موضح في الجدول(3). اذ يوضح الجدول (3) أن أفضل صيغة ذاتيّة هي الصيغة النصف اللوغاريتميّة لأن اشاره جميع معلمات المتغيرات تتفق مع النظرية الاقتصاديّة ماعدا إشارة المتغير (X_1) متوسط نصيب الفرد من الدخل اذ جاءت سالبة وتدل على وجود علاقة عكسيّة بين متوسط نصيب الفرد من الدخل والطلب على الكهرباء وهذا غير متوافق مع منطق النظرية الاقتصاديّة، ويعني ان المتغير (X_1) (متوسط نصيب الفرد من الدخل) غير معنوي احصائيًا وفق اختبار t ، أي لا يمكن الوثوق به احصائيًّا. كما نلاحظ معنىّة النموذج وبدرجة عالية استناداً الى اختبار F ، كما ان النموذج المختار لا يعني من مشكلة الارتباط الذاتي بحسب احصاء Durbin - h.

2. اسلوب بوكس-جينكينز:

من خلال رسم السلسلة الزمنية لبيانات استهلاك الطاقة الكهربائيّة مع الزمن نجد ان السلسلة تتزايد مع الزمن مما يدل على ان السلسلة غير مستقرة وهو ما يؤكد رسم دالة الارتباط الذاتي ودالة الارتباط الذاتي الجزيّي وكما موضحة بالشكلان (٤)، (٥) و (٦) في الملحق، اذ أن معاملات الارتباط الذاتي ومعاملات الارتباط الذاتي الجزيّي للسلسلة تتناقص مع الزمن.

كما انه بعد اخذ الفرق الأول لدالة الارتباط الذاتي ودالة الارتباط الذاتي الجزيّي للمشاهدات عمل على استقرار السلسلة كما في الشكلين (٧)، (٨) و (٩) في الملحق (١)، اذ تضمن قيم معاملاتها باتجاه الصغر بسرعة، مقارنة بدالة الارتباط الذاتي والارتباط الذاتي الجزيّي للسلسلة الأصلية. أي تتحذّل شكل موجة الجيب المتناقصة لذا فان النموذج المقترن هو النموذج المختلط : $ARIMA(p,1,d)$ ، فنؤخذ كل الاحتمالات الممكنة أي $(d=1)$ و $(p,q=0,0,0,0)$ لتقدّير أفضل نموذج يمتلك أقل متوسط مربعات الخطأ (MSE) ، الذي يتم استخدامه للتنبؤ بالبيانات وكما موضح في جدول (3).

جدول(3)

نتائج تقدّير الصيغ الداليّة المختلفة لدالة استهلاك الطاقة الكهربائيّة بجميع المتغيرات التفسيرية قيد الدراسة

الصيغة الخطية					
$Y_t = -8167.565 + 0.062X_1 - 1.072X_2 + 14007.46X_3 + 1.135Y_{t-1}$					
$ t^* $:	(0.033)	(0.605)	(1.200)	(1.893)	(8.973)
R^2	0.961	\bar{R}^2	0.957	F	233.699
الصيغة اللوغاريتمية					



$\ln Y_t = -3.016 + 0.001 \ln X_1 - 0.056 \ln X_2 - 0.014 \ln X_3 + 1.5 \ln Y_{t-1}$
$ t^* : (2.229) (0.071) (1.677) (1.067) (11.779)$
$R^2 = 0.976, \bar{R}^2 = 0.973, F = 383.463, D-h = 1.591$
الصيغة نصف اللوغاريتمية
$Y_t = -107E+08 - 220998.2 \ln X_1 + 1448194 \ln X_2 - 302357.6 \ln X_3 + 8604227 \ln Y_{t-1}$
$ t^* : (7.631) (0.149) (4.213) (2.282) (7.848)$
$R^2 = 0.876, \bar{R}^2 = 0.863, F = 67.226, D-h = 6.539$

المصدر: من اعداد الباحثين بالاعتماد على بيانات الدراسة وباستخدام برنامج spss

جدول (4) قيمة معيار (MSE) لنموذج (ARIMA) لاستهلاك الكهرباء لمدة (١٩٧١-٢٠١٣)

P,d,q	MSE	P,d,q	MSE	P,d,q	MSE
(0,1,1)	351697938147	(2,1,1)	248491842747	(4,1,2)	228756894051
(0,1,2)	266832771220	(2,1,2)	225610078606	(4,1,3)	242686397947
(0,1,3)	270937200633	(2,1,4)	244438656469	(4,1,4)	248425505563
(0,1,4)	215389577888	(2,1,5)	241808571071	(4,1,5)	241898367473
(0,1,5)	220386472036	(3,1,0)	249501882076	(5,1,0)	247284802199
(1,1,0)	246184501829	(3,1,1)	251275231847	(5,1,1)	240275655998
(1,1,1)	252188810409	(3,1,2)	271089761923	(5,1,2)	251375869818
(1,1,2)	252326236198	(3,1,3)	233082505049	(5,1,3)	300546494983
(1,1,3)	278175639581	(3,1,4)	268948702224	(5,1,4)	314253576540
(1,1,4)	252249577795	(3,1,5)	283006182928	(5,1,5)	244698057266
(1,1,5)	256445260950	(4,1,0)	243163943761		
(2,1,0)	253233387276	(4,1,1)	236431102644		

المصدر: من اعداد الباحثين اعتماد على بيانات الدراسة وباستخدام برنامج minitab

فالنموذج المختار هو (0,1,4) ARIMA لأنّه يتملك أقل متوسط مجموع مربعات الخطأ، وبعد ذلك يتم تقدير معلمات النموذج ، وكما موضح في الجدول (5).

جدول (5)

النتائج الاحصائية لاستهلاك الطاقة الكهربائية لنموذج ARIMA (0,1,4)

	e _{t-1}	e _{t-2}	e _{t-3}	e _{t-4}	Q _{LB} *
Estimate	-1.184	-1.440	-1.109	-0.787	24
t*	9.50	8.75	6.62	6.01	

نلاحظ ان جميع معلمات النموذج معنوية وفق اختبار t . وتم حساب الإحصائية Q_{LB}^* والتي تساوي (24) وعند مقارنتها بقيمة χ^2 الجدولية لدرجة حرية (20) ومستوى معنوية 1% و 5% التي تساوي (37.567) و(31.410) على التوالي، ف تكون قيمة هذه الاحصاءة اقل من χ^2 الجدولية مما يدل على ان معاملات الارتباط الذاتي للبواقي لاختلف معنويًا عن الصفر، أي ان حدود الخطأ للنموذج المقدر مستقلة عن بعضها، وهذا يعني ان النموذج المقترن ملائم للتكمّن باستهلاك الطاقة الكهربائية.



٥. اسلوب الشبكة العصبية الاصطناعية ANN

تم بناء الخلية العصبية من خلال تطبيق برنامج Matlab ، فقد تم تصميم برنامج حاسوبي للحصول على قيم التنبؤ لسلسلة المشاهدات دون الحاجة الى معالجة عدم المرحلية، وان اول خطوة في استخدام البرنامج هي تحديد ادخالات الشبكة العصبية، حيث ان الادخالات هي الطاقة الكهربائية المستهلكة (ميکواط/ساعة)، وتحديد عدد العقد المخفية والذي يتضمن اجراء العديد من التجارب الحاسوبية، وفي هذه الدراسة تم تثبيت مقدار الخطأ E كي يكون $0.001 \leq N_{out} \leq 20$. وقد تم اختيار عدد العقد المخفية ليكون ٢٠ للبيانات وبحسب عدد مرات التدريب. وحيث ان البيانات المستخدمة في هذه الدراسة يبلغ عددها (٤٣) مشاهدة فقد اعتبر (١٥%) منها على انها مشاهدات اختبار Test لغرض الاختبار، واعتبر ١٥% من المشاهدات مجموعة الشرعية Validation اما بقية المشاهدات فقد استخدمت للتدریب وتقيير قيمة معدل مربعات الخطأ (MSE). واجريت عدة محاولات اختبار لغرض الحصول على افضل النتائج وكما يأتي:

١- عدد العقدة المخفية

استخدمت قيم البيانات، وتم اجراء الاختبار باستخدام شبكة الانتشار العكسي وتم تدريب الشبكة باستخدام عدة عقد مخفية لاختيار العدد الافضل والجدول (٦) يوضح مقدار الخطأ MSE والذي يمثل معدل مربعات الخطأ بين قيم المخرجات للشبكة والاخراج المرغوب به. في هذا الاختبار تم تثبيت عدد مرات التدريب بوصفها ١٠٠٠٠ تكرار ، وقيمة الخطأ بمقدار ٠.٠٠١ وكانت الاوزان بين [٢،٢]. وبذلك فإن افضل عدد للعقد في الطبقات المخفية هو (٢٢) عقدة، وذلك لأن قيمة الخطأ للشرعية في هذه الحالة هو الأقل.

٢- عدد مرات التكرار

بعد اختيار افضل عدد للعقد في الطبقة المخفية، تم اجراء الاختبار الثاني وذلك لاختيار افضل عدد للتكرارات الذي يجعل قيمة الخطأ اقل ما يمكن. والجدول (٧) يبين نتائج هذا الاختبار.في هذا الاختبار استخدمت الشبكة العصبية ذات الانتشار العكسي للخطأ بعد عقد (٤) للادخال. وبعد اجراء الاختبار، تم اختيار عدد مرات التكرار كي يكون (١٠٠٠٠) تكرار للحصول على اقل خطأ، حيث حصلنا على افضل معمارية للشبكة عند (١٠٠٠٠) عدد للتكرار، وان الشرعية سلكت سلوك التدريب نفسه ولكن بمعدل خطأ اقل من التدريب. حيث ان قيمة الخطأ المطلق للشبكة اخذت بالتناقص مع زيادة عدد التكرار مقارنة مع خطأ التدريب.

ثانيًا: معايير دقة التنبؤ:

في ضوء المعايير الموضحة في جدول (٨) يتبيّن ان اسلوب الخلية العصبية الاصطناعية ابدت تفوقاً ملحوظاً على جميع اساليب التنبؤ المستخدمة في دراستنا الحالية اذ اعطت ممؤشرات MAE ، MSE ، MPE،MAPE ، اقل من طائق التنبؤ المستخدمة الاخرى، الأمر الذي يشير وبوضوح إلى أن طريقة الخلية العصبية الاصطناعية افضل وأدق من طائق الاخر في التنبؤ باستهلاك الطاقة الكهربائية. لذا تم اختيار اسلوب الخلية العصبية الاصطناعية للتنبؤ وذلك من خلال تدريب الشبكة العصبية اذ تم التوصل الى قيم التنبؤ لعشر سنوات مستقبلية لاستهلاك الطاقة الكهربائية.

الجدول (٦) اختيار عدد العقد للطبقة المخفية

عدد العقد للطبقة المخفية	Training MSE (قيمة الخطأ)	Validation MSE (قيمة الخطأ)
٤	4.44E06	1.75E06
٨	4.44E06	1.18E06
١٠	2.67E06	1.65E06
١٢	3.09E06	1.86E06
١٤	2.69E06	1.85E06
١٦	2.49E06	1.65E06
١٨	2.43E06	1.61E06
٢٠	2.64E06	1.95E06



تحديد افضل نموذج للتنبؤ باستهلاك الطاقة الكهربائية في المنطقة الجنوبية

٢٢	1.48E06	*1.43E06
٢٤	1.54E06	1.75E06
٢٦	2.08E06	1.9E06
٢٨	3.97E06	1.66E06
٣٠	4.15E06	1.75E06

* اقل خطأ

المصدر: من اعداد الباحثين اعتماد على بيانات الدراسة وباستخدام برنامج Matlab

الجدول (7) اختيار عدد مرات التكرار

عدد مرات التدريب	Training MSE	Validation MSE
١٠٠٠	4.79E06	4.86E06
٢٠٠٠	4.40E06	4.13E06
٣٠٠٠	3.86E06	3.74E06
٤٠٠٠	2.67E06	2.10E06
٥٠٠٠	2.34E06	2.26E06
١٠٠٠٠	1.41E06	*1.01E06

المصدر: من اعداد الباحثين اعتماد على بيانات الدراسة وباستخدام برنامج Matlab, * اقل قيمة لخطأ .MSE

جدول (8) معايير للتفضيل بين النماذج

نوع النموذج العصبية	نوع النموذج جنكنز	نوع النموذج المتعدد	معايير لدقة التنبؤ
1400000	215389577888	6.007E11	MSE
1183.216	29460.0	245091.8195	RMSE
33.911	28830.0	350830.0	MAE
0.12	7.415	1.000	MAPE

المصدر: من اعداد الباحثين بالاعتماد على النتائج الاحصائية

جدول (٩) قيم التنبؤ باستهلاك الكهرباء

قيمة التنبؤ للاستهلاك باستخدام الخلية العصبية(جيجاواط/ساعة)	السنوات
13407.526	٢٠١٤
14053.769	٢٠١٥
14731.161	٢٠١٦
15441.203	٢٠١٧
16185.469	٢٠١٨
16965.608	٢٠١٩
17783.35	٢٠٢٠
18640.508	٢٠٢١
19538.98	٢٠٢٢
20480.759	٢٠٢٣

المصدر: من اعداد الباحثين اعتماد على بيانات الدراسة وباستخدام برنامج Matlab



الاستنتاجات والتوصيات:

سعت الدراسة الحالية بصورة رئيسة الى المقارنة بين بعض من اساليب التنبؤ في تحليل السلسلة الزمنية لاستهلاك الطاقة الكهربائية في المنطقة الجنوبية ، اذ تبين من خلال هذه الدراسة الاستنتاجات الآتية:

١. عند تحليل السلسلة الزمنية باستخدام اسلوب الانحدار الخطي تم التوصل الى أن أفضل صيغة دالية هي الصيغة النصف اللوغاريتمية من خلال ملاحظة معنوية النموذج ويدرجة عالية استناداً الى اختبار F، كما ان النموذج المختار لا يعني من مشكلة الارتباط الذاتي بحسب احصاء h Durbin- h.
٢. تم تحديد النموذج الملائم لاسلوب بوكس وجنكز ARIMA(0,1,4) لانه يتملك اقل متوسط مجموع مربعات الخطأ. كما ان جميع معلمات النموذج معنوية على وفق اختبار t. فضلاً عن استقلالية حدود الخطأ للنموذج المقدر عن بعضها البعض، وهذا يعني ان النموذج المقترن ملائم للتنبؤ باستهلاك الطاقة الكهربائية.
٣. تتأثر نماذج الشبكات العصبية بشكل مباشر بحجم البيانات المتاحة (طول السلسلة الزمنية) فكلما كان حجم البيانات كافيا بحيث تظهر كل تغيرات السلسلة كلما ارتفعت درجة التعلم في الشبكة ومن ثم زادت كفاءة نماذج الشبكة في التنبؤ.
٤. في ضوء معايير دقة التنبؤات تم التوصل الى ان اسلوب الخلية العصبية الاصطناعية ابدت تفوقاً ملحوظاً على جميع اساليب التنبؤ المستخدمة للسلسلة الزمنية قيد الدراسة حيث ان الشبكات العصبية اذ أعطت مؤشرات MPE ، MAPE ، MAE ، MSE وبوضوح الى أن طريقة الخلية العصبية الاصطناعية أفضل وأدق من طرق الأخرى في التنبؤ باستهلاك الطاقة الكهربائية في المنطقة الجنوبية. وهو ما يشجع على استخدام هذا الأسلوب للتkenh بالسلسلة الزمنية المختلفة.
٥. تعد الشبكات العصبية طريقة بديلة عن الطرائق الكلاسيكية المستخدمة في التنبؤ التي تفترض شروط صارمة وصعبة ومنها المرحلية وتحتاج إلى صياغة رياضية معقدة، في حين ان الشبكات العصبية لا تفترض أي شروط ولا تحتاج إلى صياغة العلاقة الرياضية لامتلاكها خاصية التعلم والتدريب ذاتيا.
٦. وفي ضوء ما اسفرت عنه الدراسة الحالية من نتائج يمكن اقتراح بعض التوصيات التي تساعد في وضع خطط مستقبلية للحد من النقص في الطاقة الكهربائية
٧. الاخذ بنتائج هذه الدراسة والصيغة المعتمدة من قبل الجهات ذات العلاقة لاعتماده الاسلوب العلمي الملائم في التنبؤ.

ان الطلب على الطاقة الكهربائية سيزيد استجابةً لزيادة عدد السكان ومن المتوقع استمرار نمو السكان خلال السنوات القادمة بنفس المعدلات الحالية فضلاً عن تأثير ارتفاع معدل دخل الفرد والذي كان له تأثير واضح على زيادة الطلب خلال السنوات الماضية ، وان النمو في الطلب على الكهرباء سيزداد في مختلف القطاعات في المنطقة الجنوبية ، لغرض التوسيع في مشاريع البنية التحتية والمشاريع الصناعية والنفطية وبناء المجمعات السكنية مما يتطلب إعادة تأهيل محطات توليد الطاقة الكهربائية الحالية ، والسعى إلى بناء محطات توليد جديدة لتلبية الطلب المتزايد على الطاقة الكهربائية. وإن بناء محطات انتاج طاقة كهربائية جديدة يتطلب توفير أنواع الوقود المختلفة (غاز طبيعي ، نفط خام ، زيت الغاز) اللازمة لتشغيل تلك الوحدات.

المصادر:

١. البياتي، عصام حسين و المخلافي، فوائد عبده اسماعيل، ٢٠٠٧. "استخدام اسلوب بوكس - جينكنز للتنبؤ بانتاجية العمل في مصنع اسمنت عمران في القطاع الصناعي اليمني، مجلة الادارة والاقتصاد، العدد الثالث والستون.
٢. تيجنفيستكي، ميشيل، (٢٠٠١). " الذكاء الاصطناعي دليل النظم الذكية "، ترجمة محمد يحيى عبد الرحمن، دار المريخ ، الرياض.
٣. حامد، جمال، ٢٠٠٣. "اساليب التنبؤ" ، المعهد العربي للتخطيط، العدد ٤، شباط، السنة الثانية، الصفا، الكويت.
٤. ديفيد م سكا بوار، ٢٠٠٢. " بناء الشبكات العصبية "، ترجمة فهد بن عبد الله التركي ، الرياض جامعة الملك سعود.



5. زكي، عزة حازم، ٢٠٠٥. "استخدام الشبكات العصبية في التنبؤ للسلسل الزمنية بتطبيق على استهلاك الطاقة الكهربائية في محافظة نينوى"، رسالة ماجستير في علوم الإحصاء، كلية علوم الحاسوب والرياضيات ، جامعة الموصل.
6. الشيفي، ايقان علاء نظام، ٢٠٠٣. "تصميم نظام رياضي ديناميكي لاخطي باستخدام الشبكات العصبية (NARMAX) لاغراض تحليلية وتنبؤية لنشاط المبيعات في شركة كهرباء بغداد"، رسالة ماجستير غير منشورة، كلية الادارة والاقتصاد، جامعة بغداد.
7. الطاني، فاضل عباس، ١٩٩٩. "مقارنة بعض النماذج السلسل (ARIMA) مع نماذج Trend analysis بالتطبيق على انتاج القطن في العراق للفترة (١٩٨٨-١٩٤٨)" ، مجلة الرافدين، المجلد ٢ ، العدد ٥٨.
8. عمران، خلود موسى، ٢٠٠٧. "واقع وتوقعات الطلب على الطاقة الكهربائية في العراق"، مجلة الاقتصادي الخليجي، العدد ١٤ .
9. عيسى، رجاء عبد الله، ٢٠٠١. "دراسة الفجوة القمحية في العراق للسنوات (١٩٧٥-١٩٩٥) والتتبؤ بحجمها للسنوات (٢٠١٠-٢٠٠١)" ، رسالة دكتوراه غير منشورة ، قسم الاقتصاد ، كلية الادارة والاقتصاد، جامعة البصرة.
10. القاضي، زياد عبد الكريم، ٢٠١١. "الدليل العملي لتطبيقات الشبكات العصبية" ، دار الاعصار العلمي للنشر، عمان،الأردن.
11. كبة، سلام ابراهيم، ٢٠٠٥. "الطاقة الكهربائية في عراق القرن العشرين". وعلى الموقع: www.iraqcp.org/member3/kusalam.htm
12. مجلس محافظة البصرة، "الخطة الاستراتيجية الخمسية لتنمية محافظة البصرة ٢٠١٥ - ٢٠١١" ، ٢٠١٢ ، ص ٢٣-٢٧ .
13. محمد، شيخي، ٢٠١٢. "طرق الاقتصاد القياسي- محاضرات وتطبيقات" ، الطبعة الاولى ، دار الحامد للنشر والتوزيع، عمان.
14. محمود، غزوan هاني، ٢٠١٠. "تحسين طريقة التمهيد الاسي البسيط للتkenh بالسلسل الزمنية" ، المجلة العراقية للعلوم الاحصائية، العدد ١٨.
15. مطر، ظافر رمضان و الياس، انتصار ابراهيم، ٢٠١٠. "تحليل ونمذجة السلسلة الزمنية لتدفق المياه الداخلة الى مدينة الموصل دراسة مقارنة" ، المجلة العراقية للعلوم الاحصائية ، العدد ١٨.
16. مهدي، عادل حميد، ٢٠١٢. "خطط وسياسات وزارة الكهرباء "محاضرة قدمت الى منتدى العراق للطاقة ٢٠١٢/١٢" بغداد.
17. الموسوعة العربية للكمبيوتر والانترنت، ٤. ٢٠٠٤. "الشبكات العصبية" ، وعلى الموقع: <http://www.c4arab.com/mejhar.php>
18. موقع وزارة الكهرباء في العراق الانتاج والنقل والتوزيع ٢٠١٣ وعلى الموقع : www.iraqelectric.org/tozee_tarrifa.htm
19. موقع وزارة الكهرباء في العراق، البيانات الاحصائية، الطاقة الكهربائية المطلوبة والمتحدة للسنوات ٢٠١٠-١٩٩٤ .
20. منظمة الاقطار العربية المصدرة للنفط اوابك، النشرة الاحصائية ٢٠١٣ ، على الموقع : www.oapecorg.org
21. الناصر، عبد المجيد حمزة والعيدي، مروان عبدالحميد، ٢٠٠٣. "استخدام الشبكات العصبية للتنبؤ المستقبلي بقيم السلسل الزمنية غير المنتظمة في طول الموسمية" ، المجلة العراقية للعلوم الاحصائية، المجلد ٣ ، العدد ٦ ، كلية علوم الحاسوب والرياضيات، جامعة الموصل.
22. الوردي، عدنان هاشم، ١٩٩٠. "أساليب التنبؤ الإحصائي- طرق وتطبيقات" ، مطبعة دار الحكمة، الطبعة الأولى، العراق.

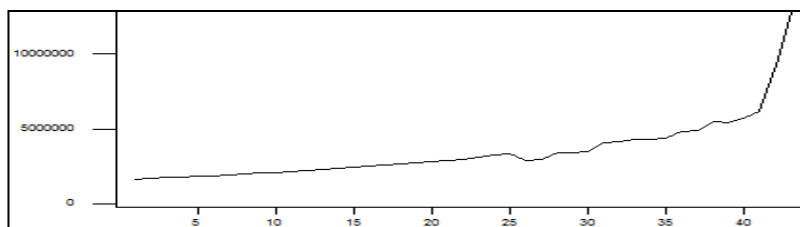


23. Ampazis, N, 1998 . “Introduction to Neural Networks”.
www.iit-nrcps.ariadne-t.gr/neural/index
24. Bovas Abraham & Johannes Ledo Iter, 1983. “Statistical Methods For Forecasting” John Willy & Sons, New York.
25. Sandy D. B.; Ernst and Young, LLP, 2003, “Statistical Aspects of Neural Networks”, Quantitative Economics & Statistics, 1225 Connecticut Avenue, NW, Washington, USA.

الملاحق:

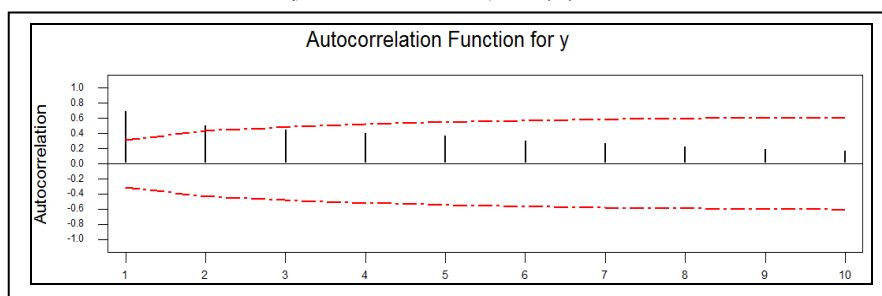
الملاحق (١):

شكل (٤) رسم السلسلة الأصلية مع الزمن لمدة (1971-2013)



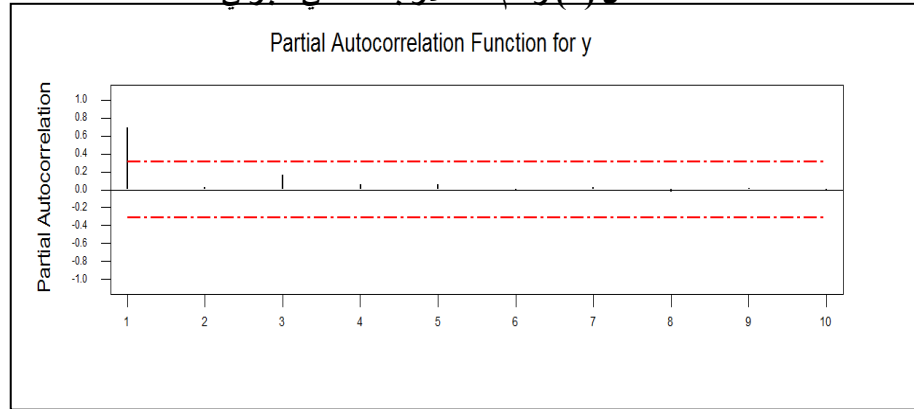
المصدر: نتائج برنامج minitab

الشكل (٥) رسم دالة الارتباط الذاتي للسلسلة الأصلية



المصدر: نتائج برنامج Minitab

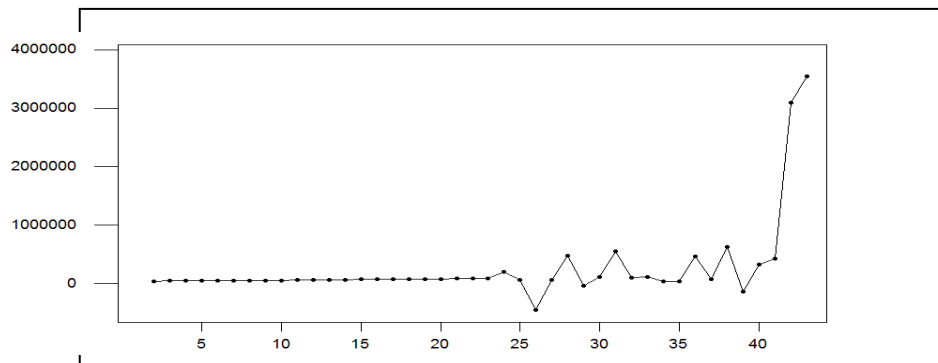
الشكل (٦) رسم دالة الارتباط الذاتي الجزئي للسلسلة



المصدر: نتائج برنامج Minitab

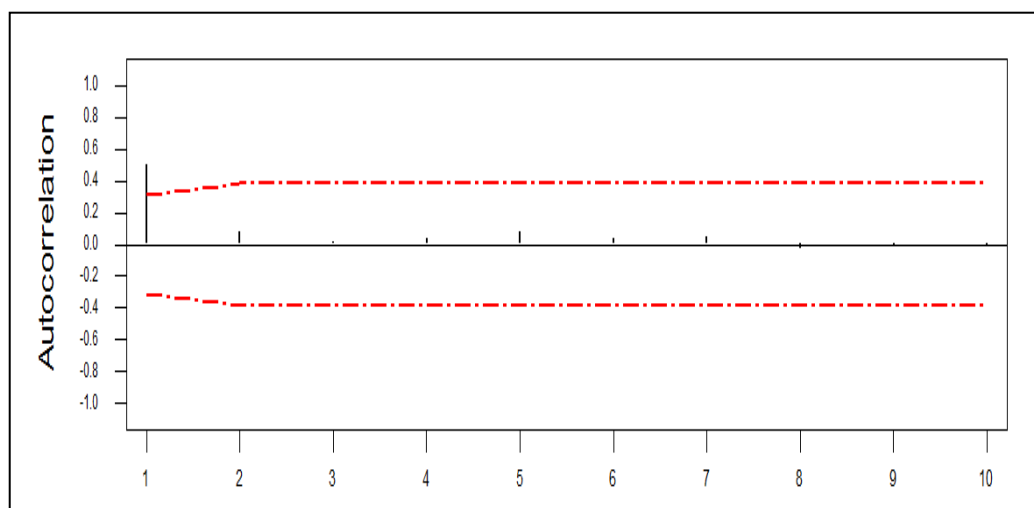


شكل (٧) بيانات السلسلة الزمنية بعد اخذ الفرق الأول



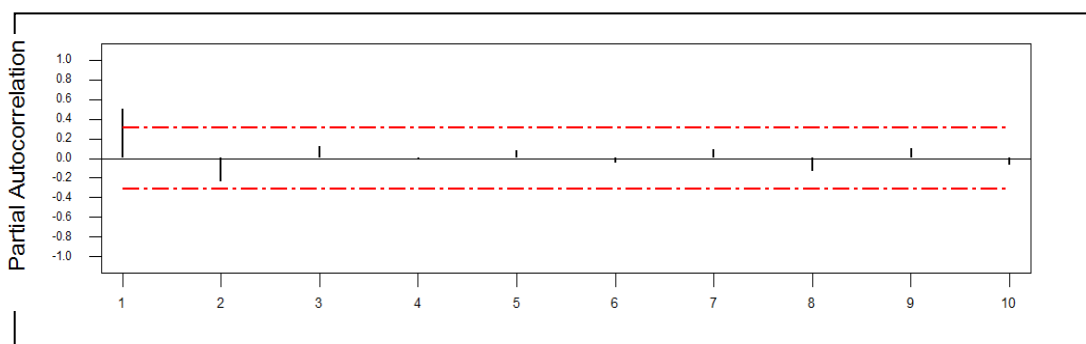
المصدر: نتائج برنامج minitab

الشكل (٨) دالة الارتباط الذاتي للسلسلة بعد اخذ الفرق الاول



المصدر: نتائج برنامج minitab

شكل (٩) دالة الارتباط الذاتي الجزئي للسلسلة بعد اخذ الفرق الأول



المصدر: نتائج برنامج minitab



Determine the best model to predict the consumption of electric energy in the southern region

Abstract:

Interest in the topic of prediction has increased in recent years and appeared modern methods such as Artificial Neural Networks models, if these methods are able to learn and adapt self with any model, and does not require assumptions on the nature of the time series. On the other hand, the methods currently used to predict the classic method such as Box-Jenkins may be difficult to diagnose chain and modeling because they assume strict conditions.

So there was a need to compare the traditional methods used to predict the time chained with neural networks method to find the most efficient method to predict, and this is the purpose of this study.

Contributes to predict future demand for electricity in the electric power sector to solve problems through future planning to meet changes in the demand for electricity increases. Experience has shown there is no way of certain predict appropriate for all cases, but that in each case the way of a private predict is needed to find and use. However, taking more than one way may lead to raising the future accuracy of the estimates.

The present study aims to shed light on some of the statistical methods used to predict future demand for electricity for the Southern District, as well as a reference to more accurate methods to predict the future of energy. It has been used a number of methods to predict , such as econometric modeling technique, style and Box- Jenkins method of artificial neural network. And service to the goal of the study, which is based upon the premise that search: the neural network models more accurate than traditional models in long-term. As it is the most efficient and more accurate than other conventional models in dealing with non-linear time-series data.

We have been using the annual electrical energy consumption data for the Southern District to conduct a comparison of the program through the application of SPSS and Minitab for statistical analysis, and Matlab language has been used to build a program in neural networks, and through the practical application it was found that neural networks gives better results and more efficient than the classic way.

Key words\ Electric power system, methods of forecasting, econometric models, Box-Jenkins style, self-regression model, Arima models, Artificial neural network ANN, MLP.